

تأثیر درجه داستیلاسیون کیتوزان بر مهار رشد سودومونا آئروژینوزا بیمارستانی

آنیتا خنافری^۱ شیوا صنعتی کوپایی^۲

چکیده

سابقه و هدف : کیتین بعد از سلولر یکی از فراوانترین مواد آلی موجود در طبیعت است که کاربردهای زیادی در صنایع غذایی، آرایشی، کشاورزی، پزشکی و محیط دارد. منابع طبیعی این پلیمر، ساختار اسکلتی سخت پوستان، حشرات و دیواره سلولی برخی از باکتری‌ها و قارچ‌ها را تشکیل می‌دهد. مشتق داستیله کیتین، کیتوزان نامیده می‌شود که قابلیت انحلال آن از کیتین بیشتر است. هدف از انجام این تحقیق بررسی تغییر در خواص ضدمیکروبی مشتق داستیله کیتوزان استخراج شده از ضایعات میگویی غالب خلیج فارس *Pseudomonas aeruginosa*, روی باکتری *Penaeus semisulcatus* بعنوان یک فرصت طلب بیمارستانی است.

مواد و روش‌ها : ابتدا کیتین و کیتوزان به روش شیمیایی و میکروبی از ضایعات میگوی *Penaeus semisulcatus* تحت شرایط بهینه استخراج شد. به منظور دستیابی به ترکیبات داستیله کیتوزان، محلول قلیایی ترکیبات استخراج شده در دوره زمانی ۱۵، ۲۰، ۴۵ دقیقه و ۱۰ ساعت در دمای ۸۵ درجه سانتیگراد حرارت داده شد و با آتانل مطلق آبگیری گردید. جهت ارزیابی درصد میزان داستیلاسیون کیتوزان حاصله، از روش FT-IR استفاده شد و ساختار آن با میکروسکوپ الکترونی نگاره بررسی شد. سپس از ترکیبات فوق دیسک تهیه شد و خواص ضدمیکروبی آن روی سودومونا آئروژینوزا بیمارستانی با روش انتشار در آگار بررسی گردید. در انتهای از ترکیبات فوق، باند زخم تهیه شد و اثر ضدمیکروبی آن در محیط کشت بررسی شد.

یافته‌ها : نتایج حاصل از این تحقیق، تولید کیتوزان با حداکثر میزان داستیلاسیون ۶۵ درصد را با روش FT-IR تایید نمود. مدت زمان حرارت دهی از ۱۵ دقیقه تا ۱۰ ساعت، تغییر محسوسی در کاهش میزان داستیلاسیون ترکیبات استخراج شده نشان نداد. با افزایش مدت زمان حرارت دهی قطر منافذ غشایی کیتین از ۱-۵٪، میکرون به ۰/۰۶۵-۰/۰۲۵ میکرون کاهش یافت. افزایش میزان ماده موثره روی دیسک تا سه برابر، سبب افزایش ۵۰ درصدی مهار رشد روی سودومونا آئروژینوزا بیمارستانی شد.

استنتاج : نتایج حاصله، رابطه افزایشی بین افزایش زمان حرارت دهی و افزایش میزان داستیلاسیون را نشان نداد. افزایش میزان داستیلاسیون و حضور یون کلسیم سبب بسته شدن منافذ غشایی و افزایش اثر ضدمیکروبی گردید. بنابراین روش انجام شده در این تحقیق، دستیابی مناسب و ارزان قیمت به غشاء‌های کیتوزانی با قطر منافذ متفاوت را امکان پذیر می‌سازد. با توجه به عدم سمتی ترکیبات کیتینی و کیتوزانی، به کارگیری تراکم‌های بیشینه آن می‌تواند اثرات ضدمیکروبی بهتری را نشان دهد.

واژه‌های کلیدی: کیتین، کیتوزان، داستیلاسیون، سودومونا آئروژینوزا، ضایعات میگو، طیف سنجی مادون قرمز

مقدمه

کیتین با ساختار تعریف شده N-استیل-β-D-گلوکز آمین، یکی از فراوانترین مواد آلی موجود در طبیعت بعد از سلولر است. این ماده، پلی ساکاریدی با ساختمان بلوری است که اجزای آن یک شبکه فیری را

E-mail: khanaafari_a@yahoo.com

مؤلف مسئول: آنیتا خنافری - تهران: دانشگاه آزاد اسلامی واحد تهران شمال

گروه میکروبیولوژی، دانشگاه آزاد اسلامی واحد تهران شمال

تاریخ دریافت: ۸۷/۱۲/۲۲ تاریخ ارجاع چهت اصلاحات: ۸۸/۲/۹ تاریخ تصویب: ۸۸/۴/۱۷

کیتین موجود در ساختار میکرووار گانیسم هایی نظیر Phycomyces spp, Mucur spp, Aspergillus oryzae کاندید مناسبی برای استفاده در پانسمان زخم ها است. نمک های کیتوزان نظیر کیتوزان لاکتات و متیل پیرولیدنون کیتوزان بهترین پانسمان کننده های زخم هستند. کیتین موجود در این قارچ ها جهت از دیاد تکثیر فیبروبلاست های F₁₀₀₀ انسانی و تهیه یک ماتریکس به منظور بهبود تدریجی تورم های پوستی نیز کاربرد دارد^(۶). کیتین و مشتقات آن، عامل مؤثری در به دام انداختن فلزات هستند که مسئول بروز بسیاری از آلرژی ها می باشند. بنابراین ماده ای مؤثر و عالی برای پوست های حساس و آلرژیک است. از این پلیمر های طبیعی در محافظه های پوست و مو، مرطوب کننده ها، کرم های دست و صورت و بدن، لوسيون های حمام، کرم پودرهای لاک ها و خمیر دندان بسیار استفاده می شود^(۵).

در این راستا هدف از انجام تحقیق حاضر، تعیین میزان داستیلاسیون کیتین و کیتوزان استخراج شده به روش های شیمیایی و میکروبی از ضایعات پوست، سر و کاراپاس، *Penaeus semisculcatus*، میگوی غالب خلیج فارس تغییر این میزان به روش های شیمیایی و تعیین خواص ضد میکروبی درصد های مختلف ترکیبات داستیله آن بعنوان یکی از کاربردهای معبدود این ترکیب با ارزش است.

مواد و روش ها

آماده سازی نمونه:

به این منظور، از ضایعات پوست، سر و کاراپاس *Penaeus semisulcatus*، گونه میگوی غالب صید شده در خلیج فارس واقع در سواحل استان هرمزگان و شهر بندر عباس استفاده شد. ضایعات میگو توسط کارگران کارخانه تولید غذای کنسرو میگو به صورت دستی از گوشت جدا شده و روی یخ به آزمایشگاه منتقل و در فور ۳۷°C به مدت ۲۴ ساعت قرار داده شد تا کاملاً خشک گردید. سپس ضایعات را پودر نموده و

تشکیل می دهند. این ساختمان سبب استحکام و مقاومت ساختمانی موجودات واجد کیتین می شود^(۱).

کیتین در طبیعت معمولاً به حالت کمپلکس با دیگر پلی ساکاریدها و پروتئین ها دیده می شود^(۲). این پلیمر طبیعی بسیار شبیه موکوبلی ساکاریدهای نظیر هپارین و هیالورونیک اسید با تحمل بیولوژیکی زیاد است که به دو صورت α و β - کیتین وجود دارد. پیوندهای درون مولکولی β - کیتین ضعیف تراز نوع α می باشد، به همین دلیل β - کیتین قابلیت انحلال بیشتری از نوع α دارد. کیتین پوست میگو و خرچنگ ها بیشتر از نوع α است. نوع β بیشتر در سرپایان دیده می شود^(۳). فراوانترین مشتق طبیعی کیتین، کیتوزان است که از واحد های D- گلوکز آمین تشکیل شده است. به عبارت دیگر ترکیب استیل گلوکز آمینی، کیتین و ترکیب گلوکز آمینی، کیتوزان نامیده می شود^(۴).

کیتوزان از نظر شیمیایی و خواص فیزی مشابه سلولز موجود در گیاهان است. گرچه از فیبر گیاهی متمایز است، با این حال قابلیت اتصال به چربی و هضم آن در دستگاه گوارش وجود دارد^(۵).

کیتین و مشتقات آن کاربردهای زیادی در صنایع غذایی، آرایشی، کشاورزی و محیط دارند. خصوصیات ضد باکتریایی، ضد قارچی و ضد ویروسی، این ترکیبات آنها برای مصارف پزشکی مناسب می سازد. از کیتین و مشتقات آن در جداسازی محصول و بازیافت، تفکیک غشایی، کوآگولاسیون ستون های کروماتوگرافی، جاذب های کپسولی و همچنین در نفوذ پذیری غشاه و فشار اسمزی معکوس استفاده می شود. در ضمن در صنایع کاغذسازی، نساجی و ساخت کاغذ های عکاسی کاربردهای فراوان دارند^(۶,۵). کربوکسی متیل کیتین به عنوان یک حامل در کنترل و تقویت تولید متفاوت این در تزریقات زیرجلدی کارایی دارد. پوشش کیتوزانی جهت تسهیل در انتشار برای تولید داروهای مختلف نظیر استامید، نیکوتینامید، سدیم بتزووات، سدیم سالیسیلات، فنوباریتون سدیم و سدیم سفازولین مطالعه شده است^(۶).

استخراج میکروبی کیتین و کیتوزان:
سویه Lactobacillus plantarum PTCC (1058) از

سازمان پژوهش‌های علمی و صنعتی ایران تهیه شد.
جهت استخراج میکروبی کیتین و کیتوزان، محیط کشت ۱۰ درصد پودر ضایعات میگو در آب مقطر تهیه و به نسبت ۱ درصد به آن نیترات آهن افزوده شد تا استخراج کیتین به حداکثر برسد(۸). سپس محیط کشت فوق در دمای ۱۲۱ درجه سانتیگراد و فشار ۱/۴ اتمسفر به مدت ۱۵ دقیقه اتوکلاو گردید. پس از سرد شدن تدریجی ارلن های حاوی محیط کشت میگو در شرایط آزمایشگاه، به هر ارلن به نسبت ۱۰ درصد از کشت تلچیق Lactobacillus plantarum PTCC (1058) در MRS broth (عصاره گوشت ۸ گرم، پپتون استخراج شده از کازئین ۱۰ گرم، عصاره مخمر ۴ گرم، تؤین ۸۰ یک گرم، گلکوزن ۲۰ گرم، دی آمونیوم هیدروژن سیترات ۲ گرم، سیترات سدیم ۵ گرم، سولفات منیزیوم ۰/۲ گرم، سولفات منگنز ۰/۰۴ گرم، آب مقطر ۱۰۰۰ میلی لیتر) کشت شده بودند و در طول موج ۶۰۰ نانومتر، جاذبی معادل ۱-۸/۰ را نشان می داد (معادل $10^8 \times 5$ CFU/ml)، اضافه گردید. محیط‌های کشت به مدت یک هفته در انکوباتور ۳۷°C گرمانه گذاری شدند. پس از طی این زمان، محیط کشت فوق، با دور ۴۰۰۰ rpm به مدت ۱۵ دقیقه سانتریفوژ شد. مایع رویی دور ریخته شد، سپس رسوب حاصل با آب مقطر و یا MRS broth شسته شد(۹).

برای زدودن پروتئین‌ها و املاح معدنی پوست میگو از روش شیمیایی ذکر شده استفاده گردید.

تهیه مشتق داستیله:

کیتین استخراج شده از ضایعات میگو به روش‌های شیمیایی و میکروبی با محلول ۴۵ درصد هیدروکسید سدیم به نسبت ۱:۱۰ مخلوط شد. نمونه‌های فوق به بن ماری ۸۵ درجه سانتیگراد با دوره زمانی ۱۵، ۲۰، ۴۵ دقیقه و

در شیشه‌های تیره و درسته در فریزر در دمای -20°C تا زمان مصرف نگهداری شدند.

استخراج شیمیایی کیتین و کیتوزان:
به ۵ گرم از پودر ضایعات خشک شده میگو، ۲۵ میلی لیتر سود ۲ مولار اضافه شد و در دمای 25°C به مدت ۱۵ دقیقه به منظور دپروتئینه کردن نمونه، گرمانه گذاری شد. سپس مخلوط فوق در ۲۰۰۰ rpm به مدت ۱۰ دقیقه سانتریفوژ گردید و مایع قلیایی سطحی جدا و دور ریخته شد. رسوب حاصل با آب مقطر چندین بار شستشو شد. ۲۵ میلی لیتر اسید سولفوریک ۰/۵ مولار به رسوب افزوده و در دمای 50°C به مدت ۱۶ ساعت به منظور زدودن املاح معدنی قرارداده شد. پس از آن نمونه در ۲۰۰۰ rpm به مدت ۱۰ دقیقه سانتریفوژ شد. سپس رسوب با آب مقطر برای چندین بار شستشو داده شد.

به منظور خالص سازی کیتین استخراج شده، پوست میگوی خشک شده با محلول هیدروکسید سدیم ۲ درصد به نسبت (۱:۳۰) به مدت ۲ ساعت در دمای 90°C دپروتئینه شد. سپس مخلوط قلیایی و رسوب حاصله شسته شد. برای استخراج کیتوزان از رسوب مخلوط فوق، در مجاورت اسید استیک ۱۰ درصد به نسبت (V/W) ۱:۴۰ در 40°C به مدت ۶ ساعت قرار گرفت و سپس کیتین خام و خالص توسط سانتریفوژ با دور ۴۰۰۰ rpm به مدت ۱۵ دقیقه جدا شد. pH فاز رویی که حاوی کیتوزان محلول در اسید استیک است، با سود ۴ مولار به حدود ۹ رسانده شد. در این هنگام، کیتوزان بصورت معلق در محلول در آمد و سپس ته نشین شد. هر دو رسوب حاصل یعنی کیتین خام و کیتوزان با آب مقطر، اتانول و استون شسته و در دمای 20°C خشک شدند. رسوب حاصل در دستگاه فور با دمای 105°C به مدت ۲۴ ساعت قرار داده شد و وزن نمونه خشک تعیین گردید(۷).

یک میلی لیتر مخلوط اسید هیدرو کلریدریک، اسید نیتریک به نسبت ۱:۳۳ اضافه گردید و تازمان حل شدن کامل در دمای ۱۰۰ درجه سانتیگراد نگهداری شد. سپس محلول حاصل به دیسک های بلاتک تلقیح گردید. پس از خشک شدن دیسک های موردنظر در دمای اتاق، وزن خشک نمونه جذب شده روی هر دیسک تعیین شد.

نمونه سویه مقاوم بیمارستانی

Pseudomonas aeruginosa از بیمارستان مرکز طبی کودکان تهیه شد. نمونه از لوله تراشه یک نوزاد یک ماهه بستری در بخش ICU جداسازی شد. این نمونه سودوموناس جدا شده، مقاومت بسیار بالایی نسبت به بسیاری از آنتی بیوتیک ها نشان می داد. سوپانسیونی از باکتری فوق در محیط کشت مولر هیتون براث تهیه و کبدورت آن با شاهد ۰/۵ مک فارلنده مقایسه گردید. سپس یک میلی لیتر از کشت تلقیح فوق به صورت جداگانه به محیط کشت مولر هیتون آگار افزوده شد و به روش آنتی بیو گرام کشت متراکم تهیه گردید. سپس دیسک های کیتوزانی تهیه شده با فاصله روی محیط کشت تلقیح شده فوق قرار داده شد. بعد از گرمخانه گذاری نمونه ها به مدت ۲۴ ساعت در دمای ۳۷ درجه سانتیگراد، قطر هاله عدم رشد برای هر دیسک با خط کشت اندازه گیری و ثبت گردید. به منظور جلو گیری از تداخل اثر حللا های شیمیایی ذکر شده، نمونه دیسک شاهد برای هر حلال و مخلوط آنها نیز در هر مرحله در نظر گرفته شد. به منظور مقایسه اثر ضدمیکروبی ترکیبات فوق از دو باکتری *E. coli* بعنوان شاخص گرم منفی و *Staphylococcus aureus* بعنوان شاخص گرم مثبت استفاده گردید.

بررسی اثر ضد میکروبی غلاظت های افزایشی کیتوزان دستیله شده:

به منظور دستیابی به اثرات ضدمیکروبی قوی تر، درصد های افزایشی تا غلاظت سه برابر از پودر کیتوزان

در نهایت ۱۰ ساعت انتقال داده شد. سپس نمونه ها به سرعت با قرار دادن در آب سرد، خنک شدند و به مدت ۱۵ دقیقه در دور ۵۰۰۰ rpm سانتریفیوز شدند. فاز رویی حذف گردید و روی رسوب تا زمان خنثی شدن pH، با اتانل ۷۰ درصد شستشو داده شد. در پایان، نمونه ها جهت آب گیری با اتانل مطلق مجدداً شسته شدند و به منظور خشک شدن ابتدا در فور ۶۰ درجه سانتیگراد به مدت ۲۴ ساعت و سپس به دسیکاتور منتقل شدند.^(۱۰)

ارزیابی درصد میزان داستیلاسیون کیتوزان: نمونه های کیتوزان دستیله شده به روش تیتراسیون قلیایی با استفاده از دستگاه FT-IR با مشخصات Nicolet, 870FT_IR ساخت آمریکا انتقال داده شدند و گراف های بدست آمده مورد بررسی و تحلیل قرار گرفت.^(۱۱)

میزان استیلاسیون نمونه های کیتوزان با استفاده از فرمول زیر تعیین شد^{(۱۲,۱۳):}

$$DA = \frac{1}{100} \times [1 - (\frac{A_{1655}}{A_{3450}}) \div \frac{1}{1/33}]$$

که در آن:

DA: درصد استیلاسیون

A_{1655} : میزان جذب در ناحیه ۱۶۵۵

A_{3450} : میزان جذب در ناحیه ۳۴۵۰

می باشد. با سنجش درصد استیلاسیون نمونه با استفاده از فرمول فوق و تفاضل آن از عدد ۱۰۰، درجه داستیلاسیون نمونه تعیین شد.

بررسی ساختار کیتوزان دستیله با استفاده از میکروسکوپ الکترونی نگاره (SEM):

مورفولوژی نمونه های دستیله شده با استفاده از میکروسکوپ الکترونی نگاره LEO 440i پس از پوشش دهی با طلا مورد بررسی قرار گرفت.^(۱۰)

بررسی خاصیت ضدمیکروبی ترکیبات دستیله: به منظور بررسی خواص ضدمیکروبی مشتقات داستیله شده کیتوزان، ۱/۰ گرم از نمونه های فوق در

فوق روی محیط کشت قرار داده شد و در دمای ۳۷ درجه سانتیگراد گرمخانه گذاری گردید. به منظور مقایسه، محیط کشت شاهد فاقد باند نیز در نظر گرفته شد.

داستیله شده با روش مشابه فوق تهیه گردید و اثرات ضد میکروبی آنها مورد بررسی و مقایسه قرار گرفت.

آنالیز آماری:

به منظور بررسی اختلاف در میزان هاله عدم رشد ترکیبات داستیله کیتوزان استخراج شده بر باکتریهای شاهد، در مقادیر ثابت پارامترهای محیطی، از برنامه SPSS ویرایش ۱۱ و آزمون ANOVA استفاده شد و ضریب معناداری پارامترها بر مبنای $P < 0.05$ در نظر گرفته شد.

یافته ها

نتایج حاصل از این تحقیق نشان داد که میزان استیلاسیون نمونه کیتین (شاهد) از ۷۵ درصد به ۳۵ درصد در نمونه حرارت دیده کاهش یافت (جدول شماره ۱).

تنهیه باند زخم از نمونه کیتوزان داستیله شده: از آنجاییکه یکی از مشکلات اصلی در مراکز سوانح سوختگی، آلودگی های ثانویه به باکتری های Pseudomonas aeruginosa بخصوصیتی به باکتری های زخم می باشد و از سوی دیگر به کارگیری باند های زخم متداول برای اینگونه بیماران موجب چسبندگی باند به بخش های سوخته می شود، در این مرحله اثر ضد میکروبی باند کیتوزانی روی محیط کشت حاوی باکتری فوق مورد بررسی قرار گرفت.

برای این منظور پس از خمیری نمودن پودر کیتوزان داستیله شده، خمیر فوق روی باند استریل قرار داده شد و پس از آلوود نمودن محیط کشت مولرهیتون آگار با باکتری Pseudomonas aeruginosa به روش ذکر شده، باند

جدول شماره ۱: مقایسه نوع ترکیبات کیتوزان استخراج شده به روش میکروبی و شیمیایی براساس طیف FT-IR

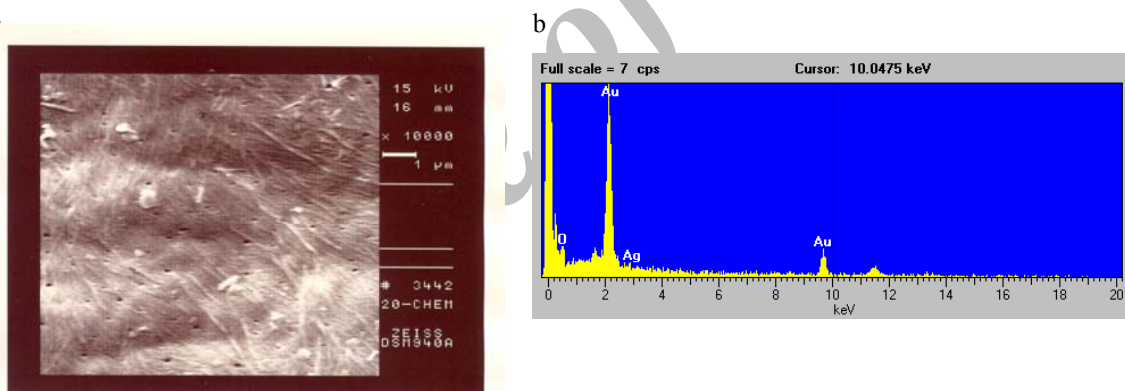
| DA درجه استیلاسیون | C-O اسیدهای کربوکسیلیک، استرها، الکل ها، اترها | C-N آمین ها | -NO ₂ ترکیبات نیترو | C=C الکن ها | C≡C الکن ها | O-H اسیدهای کربوکسیلیک | C-H الکان ها | C-H حلقه های آروماتیک | C-H الکن ها | O-H الکل ها و فول ها | نوع ترکیب و شدت خط آن بر حسب cm^{-1} | نمونه | نکته |
|-----------------------|---|----------------|--------------------------------------|----------------|----------------|------------------------------|-----------------|-----------------------------|----------------|----------------------------|---|-------------------------|----------------------|
| | | | | | | | | | | | | | |
| ۷۵ | درصد % | ۱۰۸-۱۳۰ | ۱۱۸-۱۱۶ | ۱۵۱۵-۱۵۶۰ | ۱۶۲۴-۱۶۸۰ | ۲۱۰۰-۲۲۶۰ | ۲۵۰۰-۳۰۰۰ | ۲۸۵۰-۲۹۶۰ | ۳۰۰۰-۳۱۰۰ | ۳۰۲۰-۳۰۸۰ | ۳۲۰۰-۳۶۰۰ | کیتوزان استخراج میکروبی | ۱۵ دقیقه حرارت دهنده |
| | ۱۲۶۱/۱۳ | ۱۳۱۳/۴۹ | ۱۵۶۲/۰۲ | ۱۶۵۶/۱۰ | | | | | ۱۳۵-۱۴۷ | ۶۷۵-۶۷۰ | ۶۷۵-۱۰۰ | | |
| | ۱۲۰۵/۳۲ | ۱۳۱۶/۴۵ | ۱۱۷۹/۴۸ | | | | | ۲۹۲۸/۵۶ | | | ۳۳۵۱/۳۳ | | |
| ۳۵/۱۹ | ۱۱۵۸/۳۹ | | | | | | | | | | | کیتوزان استخراج میکروبی | ۲۰ دقیقه حرارت دهنده |
| | ۱۰۵۸/۲۴ | ۱۳۷۹/۱۲ | ۱۵۵۸/۲۴ | ۱۶۰۹/۹۵ | ۲۱۳۵/۶۸ | | ۲۸۹۱/۵۲ | | ۹۵۴/۳۵ | ۳۴۴۷/۷۰ | | | |
| | ۱۱۷۹/۱۲ | | | | | | | | ۸۹۶/۷۳ | | | | |
| ۳۵/۲۲ | ۱۲۰۵/۳۸ | ۱۳۱۶/۷۴ | ۱۵۵۸/۱۲ | ۱۶۶۰/۱۹ | ۲۱۳۵/۷۷ | | ۲۸۹۱/۵۳ | | ۹۵۳/۳۶ | ۳۴۴۶/۱۶ | | کیتوزان استخراج میکروبی | ۱۰ ساعت حرارت دهنده |
| | ۱۲۶۱/۴۲ | ۱۳۱۶/۷۴ | ۱۱۷۹/۶۹ | ۱۶۶۰/۱۹ | | | | | ۸۹۶/۵۷ | | | | |
| | ۱۲۰۵/۳۸ | | | | | | | | | | | | |
| ۳۵/۶۷ | ۱۱۵۸/۷۵ | ۱۳۱۶/۷۵ | ۱۵۶۲/۱۰ | ۱۶۵۶/۱۰ | ۲۱۳۴/۵۲ | | ۲۸۹۱/۴۲ | | ۸۹۶/۵۵ | ۳۴۴۹/۹۲ | | کیتوزان استخراج میکروبی | ۴۵ دقیقه حرارت دهنده |
| | ۱۲۰۵/۳۳ | | | | | | | | | | | | |
| | ۱۱۷۹/۷۵ | | | | | | | | | | | | |
| ۳۵/۱۲ | ۱۱۵۷/۹۲ | ۱۳۱۶/۷۹ | ۱۵۶۲/۱۶ | ۱۶۰۶/۱۶ | ۲۱۳۲/۳۶ | | ۲۸۹۱/۷۲ | ۳۱۰۶/۸ | ۹۵۴/۵۵ | ۳۴۴۷/۱۱ | | کیتوزان استخراج میکروبی | ۱۰ ساعت حرارت دهنده |
| | ۱۲۰۵/۲۰ | | ۱۱۷۹/۷۶ | ۱۵۶۲/۱۶ | | | | | ۸۹۶/۷۶ | | | | |
| | ۱۱۵۷/۹۲ | | | | | | | | ۷۰۴/۴۲ | | | | |
| ۳۵ | ۱۱۵۷/۷۳ | ۱۳۱۶/۷۹ | ۱۵۶۲/۰۲ | ۱۶۵۶/۰۸ | | | ۲۹۳۳/۱۵ | | ۹۵۴/۳۸ | ۳۴۵۲/۳۱ | | کیتوزان استخراج شیمیایی | ۱۵ دقیقه حرارت دهنده |
| | ۱۲۰۵/۳۱ | | ۱۱۷۹/۷۰ | ۱۵۶۲/۰۲ | | | ۲۸۹۱/۹۳ | | ۸۹۶/۵۲ | | | | |
| | ۱۱۷۹/۷۳ | | | | | | | | | | | | |
| ۳۵/۸ | ۱۱۵۷/۳۵ | ۱۳۱۶/۷۹ | ۱۵۶۲/۰۹ | ۱۶۵۷/۱۹ | ۲۱۳۷/۰۱ | ۲۲۷۹/۰۱ | ۲۹۳۳/۴۰ | | ۹۵۴/۴۸ | ۳۴۵۲/۱۶ | | کیتوزان استخراج شیمیایی | ۲۰ دقیقه حرارت دهنده |
| | ۱۲۰۵/۱۲ | | ۱۱۷۹/۵۴ | ۱۵۶۲/۰۹ | ۱۶۵۷/۱۹ | | ۲۸۹۱/۸ | | ۸۹۶/۹۷ | | | | |
| | ۱۱۵۷/۳۵ | | | | | | | | ۷۵۳/۵۰ | | | | |
| ۳۵ | ۱۱۵۷/۷۰ | ۱۳۱۶/۹۰ | ۱۵۶۵/۹۷ | ۱۶۵۶/۱۸ | ۲۱۳۱/۹۳ | | ۲۹۶۲/۰۵ | | ۹۵۴/۵۵ | ۳۴۵۲/۳۸ | | کیتوزان استخراج شیمیایی | ۴۵ دقیقه حرارت دهنده |
| | ۱۲۰۵/۴۲ | | ۱۱۷۹/۱۰ | ۱۵۶۵/۹۷ | | | ۲۹۳۳/۷۹ | | ۸۹۶/۷۷ | | | | |
| | ۱۱۵۷/۷۰ | | ۱۱۷۹/۸۹ | ۱۵۶۵/۹۷ | | | ۲۸۹۱/۷۸ | | ۷۵۲/۶۶ | | | | |
| ۳۵/۱۴ | ۱۱۵۷/۵۰ | ۱۳۱۶/۵۲ | ۱۵۶۵/۰۴ | ۱۶۵۹/۱۳ | | | ۲۸۹۲/۰۱ | | ۹۵۴/۳۰ | ۳۴۵۱/۳۹ | | کیتوزان استخراج شیمیایی | ۱۰ ساعت حرارت دهنده |
| | ۱۲۰۵/۳۲ | | ۱۱۷۹/۷۳ | ۱۵۶۵/۰۴ | | | | | ۸۹۶/۵۴ | | | | |
| | ۱۱۵۷/۵۰ | | | | | | | | ۷۰۴/۰۶ | | | | |

میکروسکوپ الکترونی نگاره، تشکیل غشاء‌های کیتوزانی با قطر منفذ $0.062\text{--}0.312\text{ }\mu\text{m}$ میکرون را در مقایسه با نمونه کیتن نشان داد (اشکال شماره ۱ تا ۳).

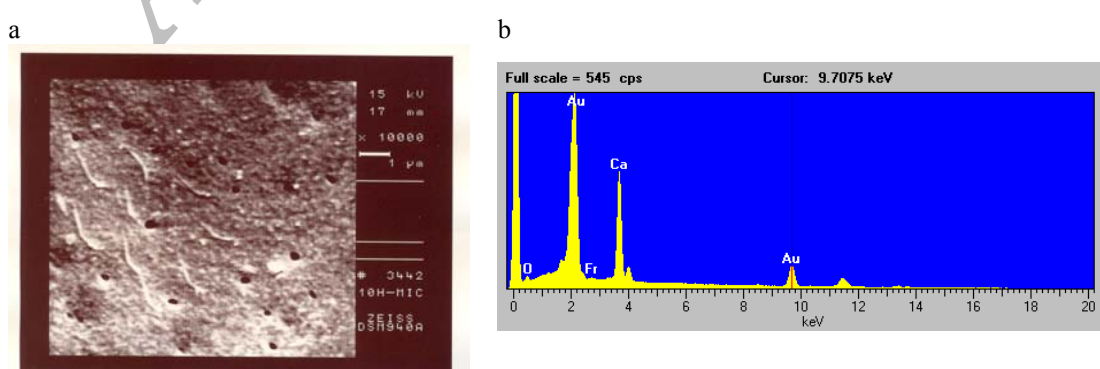
نتایج آنالیز عناصر توسط میکروسکوپ الکترونی کاهش قطر منفذ کیتوزانی را در حضور یون کلسیم در محیط نشان داد (اشکال شماره ۱ تا ۳).

نتایج حاصل از سنجش اثرات ضدمیکروبی ترکیبات داستیله استخراج شده، تشکیل قطر هاله عدم رشد روی باکتری *Pseudomonas aeruginosa* بیمارستانی را در بیشترین حالت ۱۷ و در کمترین حالت ۱۲ میلی متر نشان داد. این نتایج براساس میزان ۳ میلی گرم پودر داستیله جذب شده روی هر دیسک محاسبه شد (جدول شماره ۲).

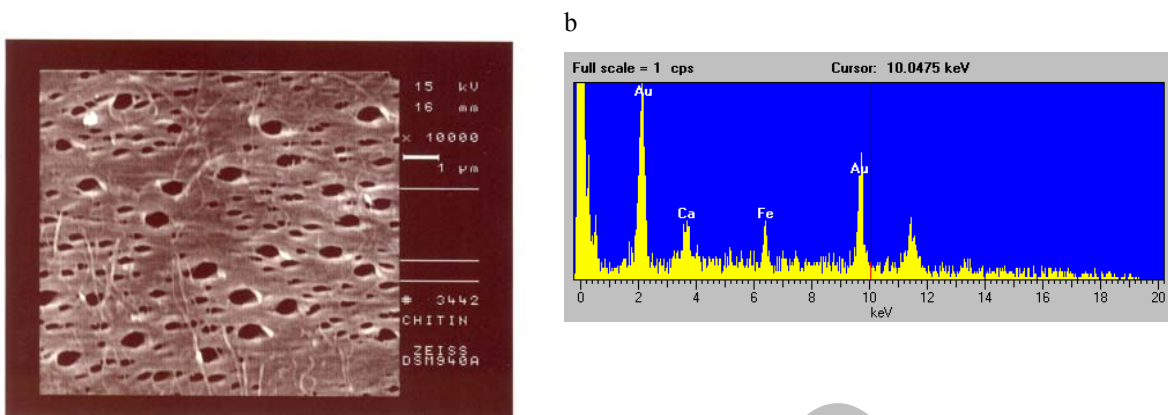
با حرارت دادن نمونه کیتن تعداد باندهای مربوط به ترکیبات آلکن (C-H) در موقعیت cm^{-1} ۶۷۵-۱۰۰۰ و ۱۳۸۰-۱۳۲۰ در نمونه‌های کیتوزان میکروبی و شیمیایی هر دو مشاهده شد که نمونه شاهد، فاقد آن بود. از سوی دیگر با افزایش مدت زمان حرارت دهی از ۱۵ دقیقه تا ۱۰ ساعت، ابتدا تعداد این باندها کاهش و سپس در نمونه ۱۰ ساعته، مشابه با نمونه ۱۵ دقیقه شد. همچنین ظهور باند مربوط به ترکیبات آلکین (C≡C) در موقعیت cm^{-1} ۲۲۶۰-۲۱۱۰ در نمونه میکروبی با افزایش زمان حرارت دهی مشاهده شد که نمونه شاهد و شیمیایی (به جز نمونه ۴۵ دقیقه حرارت دیده شده) فاقد آن بودند (جدول شماره ۱). همچنین نتایج داستیلاسیون کیتوزان با استفاده از



شکل شماره ۱: میکروگراف الکترونی و آنالیز عناصر مربوط به کیتوزان استخراج شده به روش شیمیایی و داستیله شده با دوره زمانی ۲۰ دقیقه.
(a) میکروگراف الکترونی نگاره (b) آنالیز عناصر. اندازه منفذ $0.062\text{ }\mu\text{m}$ میکرون (بزرگترین). اکثر منافذ بسته شده است



شکل شماره ۲: میکروگراف الکترونی و آنالیز عناصر مربوط به کیتوزان استخراج شده به روش میکروبی و داستیله شده با دوره زمانی ۱۰ ساعت.
(a) میکروگراف الکترونی نگاره (b) آنالیز عناصر. افزایش قطر منفذ به $0.312\text{ }\mu\text{m}$ میکرون



شکل شماره ۳: میکرو گراف الکترونی و آنالیز عناصر مربوط به کیتین. a) میکرو گراف الکترونی نگاره b) آنالیز عناصر. اندازه اکثر منافذ بین ۰/۵ تا ۱ میکرون می باشد.

جدول شماره ۲: اثر ضد میکروبی مشتقات داستیله کیتوزان بر حسب قطر هاله عدم رشد (بر حسب میلی متر)

| میکروار گانیسم | قطر هاله عدم رشد (mm) | | | | | |
|-----------------|-----------------------|----------|----------|----------|---------|----------|
| | ۱۰ ساعت | ۱۵ دقیقه | ۲۰ دقیقه | ۴۵ دقیقه | ۱۰ ساعت | ۱۵ دقیقه |
| E. coli | ۱۰ | ۱۰ | ۱۵ | ۱۳ | ۱۴ | ۱۱ |
| S. aureus | ۱۸ | ۱۹ | ۱۷ | ۱۸ | ۱۷ | ۱۲ |
| Pseudomonas sp. | ۱۲ | ۱۶ | ۱۷ | ۱۲ | ۱۵ | ۱۱ |

گرم مثبت S.aureus با میانگین قطر حداقل ۱۲ و حداقل ۱۹ میلیمتر دیده می شود. زمانیکه میزان ماده موثره روی دیسک تا سه برابر (۹ میلی گرم) افزایش یافت، هاله مهار رشد این باکتری از ۳۰ میلی متر به ۱۷ میلی متر افزایش نشان داد. نتایج حاصل از تهیه خمیر کیتوزان و تهیه باند آن نشان داد تا زمانیکه این باند روی محیط کشت تلقیح شده با باکتری Pseudomonas aeruginosa قرار داده شود، جلوی رشد باکتری مورد نظر گرفته می شود (نتایج این آزمون تا یک هفته گرمانه گذاری مورد بررسی قرار گرفت). در حالیکه در محیط کشت شاهد (فائد باند) باکتری پس از ۲۴ ساعت کاملاً رشد نمود.

بحث

نتایج حاصل از این تحقیق نشان داد که تولید ترکیبات داستیله کیتین استخراج شده از ضایعات پوست،

نتایج آنالیز آزمون آماری جهت بررسی میزان تاثیر ضد میکروبی مشتقات داستیله کیتوزان بر حسب قطر هاله عدم رشد، اختلاف معنی داری بین روش های استخراج شیمیایی و میکروبی پس از حرارت دهی در زمان های متفاوت، در سطح $P < 0.05$ نشان نداد. چنانچه در جدول شماره ۲ آمده است، حداقل قطر هاله عدم رشد، ۱۰ میلی متر و مربوط به استخراج میکروبی و شیمیایی کیتوزان، با مدت زمان حرارت دهی ۱۰ ساعت، روی باکتری شاهد E.coli است و حداقل ۱۹ میلی متر مربوط به استخراج میکروبی با مدت زمان حرارت دهی ۱۵ دقیقه و ۱۰ ساعت روی باکتری شاهد S.aureus بوده است. نتایج آماری بیانگر وجود اختلاف معنی دار بین تشکیل قطر هاله عدم رشد بر حسب مدت زمان حرارت دهی مشتقات داستیله کیتوزان و نوع باکتری های شاهد در $P < 0.05$ می باشد. صرف نظر از مدت زمان حرارت دهی، بیشینه قطر هاله عدم رشد روی باکتری

با کاربردهای متعدد ارائه شده است^(۱۹). یکی از متداولترین روش‌های تهیه این غشاء‌ها استفاده از استراتژی لیوفلیزاسیون می‌باشد که روش گرانقیمتی است. غشاء‌های منفذدار کیتین و کیتوزانی تهیه شده به این روش در مهندسی کشت بافت (۲۰-۲۳)، تهیه باندهای زخم (۲۴) و حاملین انتقال دارو (۲۷،۲۶) استفاده می‌شود. Khor از روش Chow و IPB (internal bubbling process) برای تهیه ماتریکس کیتینی با قطر منافذ بزرگ (۱۰۰-۱۰۰۰ میکرومتر) استفاده نمودند.^(۲۸) Zeng و همکاران غشاهايی از کیتین و کیتوزان با قطر منافذ بزرگ با کترول سایز منفذ با استفاده از ذرات سلیکا تهیه کردند^(۲۹،۳۰). در این روش سوسپانسیونی از ذرات سلیکا با سایز مورد نظر به محلول اسیدی کیتوزان اضافه می‌شود. Steenkamp و همکاران^(۳۱) از کامپوزیت آلومینیوم/کیتوزان جهت حذف مس دو ظرفیتی از آبهای آلوود استفاده نمودند.

روش داستیلاسیون انجام شده در این تحقیق نیز می‌تواند روش مناسب و ارزان قیمتی جهت دستیابی به غشاء‌های کیتینی و یا کیتوزانی با اندازه متفاوت باشد. در آنالیز عناصر توسط میکروسکوپ الکترونی ارتباط معنی‌داری بین حضور یون‌کلسیم در نمونه، تعداد و اندازه منافذ مشاهده گردید. در روش‌های شیمیایی و میکروبی استخراج کیتین و داستیلاسیون آن به روش فوق، در گراف‌های الکترونی آنالیز عناصر، در نمونه‌هایی که یون کلسیم دیده نمی‌شود افزایش تعداد و بزرگی اندازه منافذ مشاهده می‌شود و بر عکس در گراف‌هایی که حضور یون کلسیم تایید شده منافذ کم و یا بسته شده‌اند.

ارتباط خطی مشابهی میان افزایش مدت زمان حرارت دهی (میزان داستیلاسیون) با قطر هاله عدم رشد روی میکروارگائیسم‌های مورد بررسی مشاهده نگردید. با افزایش میزان ماده موثره روی دیسک تا سه برابر (۹ میلی گرم) قطر هاله عدم رشد روی باکتری Pseudomonas aeruginosa^(۳۲) بیمارستانی، افزایش ۵۰ درصدی را نشان داد.

سر و کاراپاس Penaeus semisulcatus در گونه میگوی غالب صید شده در خلیج فارس در مقایسه با نمونه شاهد (کیتین) پس از آماده‌سازی به روش Zhang و همکاران با استفاده از روش FT-IR را به ترتیب ۶۵ درصد و ۳۰ درصد است. این روش باعث کاهش میزان داستیلاسیون نمونه‌های کیتوزان حرارت دیده شده تا ۳۵ درصد گردید.

استفاده از روش FT-IR جهت تعیین میزان داستیلاسیون کیتوزان اولین بار توسط Roberts و Moore انجام شد^(۱۴). این روش مزایای زیادی داشت: زیرا روش سریعی بود و نیازی به حل نمودن نمونه کیتوزان در حلال نداشت^(۱۵،۱۶). کیتوزان طبیعت رطوبت پذیر دارد. گزارش‌های نشان می‌دهد که توانایی رطوبت‌پذیری کیتوزان با افزایش خاصیت داستیلاسیون کاهش می‌یابد^(۱۷).

با افزایش میزان حرارت دهی تراکم پیک 1320 cm^{-1} که مربوط به گروه استیلیم می‌باشد، کاهش نشان می‌دهد (جدول شماره ۱) که دلیل عدمه داستیلاسیون می‌باشد. اما مدت زمان حرارت دهی، تغییر چندانی در کاهش میزان داستیلاسیون نشان نداد. بطوريکه در ۱۵ دقیقه اول حرارت دهی، میزان داستیلاسیون نسبت به نمونه شاهد ۴۰ درصد کاهش نشان داد که این میزان تا پایان مدت زمان ۱۰ ساعت تغییر چندانی نکرد. Acharya و همکاران نیز نشان دادند که افزایش مدت زمان حرارت دهی به منظور ایجاد ترکیبات داستیله حاصل از پوست خرچنگ تاثیر محسوسی در افزایش درصد داستیلاسیون ایجاد نمی‌کند^(۱۸).

با افزایش مدت زمان حرارت دهی جهت داستیلاسیون نمونه کیتوزان، قطر منافذ از ۱-۰/۵ میکرون (در نمونه شاهد) به ۰/۰۶۲-۰/۰۲۵ میکرون کاهش یافت. به عبارت دیگر افزایش داستیلاسیون سبب بسته شدن منافذ شد.

پژوهش Xiaoli و همکاران قطر منافذ غشاها کیتوزان را ۰/۵۶۰-۰/۷۰ میکرومتر و متوسط قطر را ۱۵/۵۴۲-۰/۳۰ میکرومتر گزارش کرده است. گزارش‌های متعددی مبنی بر تهیه غشاء‌های کیتینی و یا کیتوزانی با قطر منافذ مختلف

شده به کارگیری تراکم‌های بیشینه آن می‌تواند اثرات ضدمیکروبی بهتری نشان دهد.

سپاسگزاری

بدین وسیله از معاونت محترم پژوهشی دانشگاه آزاد اسلامی جهت تصویب طرح تحقیقاتی حاضر و اختصاص بودجه، کمال تقدیر و تشکر را ابراز می‌داریم.

اثرات ضدمیکروبی کیتوزان تا حدود زیادی وابسته به درجه پلیمریزاسیون مولکولی آن است (۳۲). انواع اولیگومریک کیتوزان اثر ضدمیکروبی چندانی ندارند. کیتوزان روی باکتری‌های گرم مثبت موثرتر از انواع گرم منفی است و این اثر تا حدود زیادی تحت تاثیر pH محیط قرار دارد. بیشترین اثر ضدمیکروبی این ترکیب در pH های اسیدی بخصوص pH معادل ۴/۵ مشاهده شده است (۳۲). با توجه به عدم سمیت ماده استخراج

References

- Robert T, Takako N. Interaction of stearylamine liposome with erythrocyte ghosts: Analysis of membrane lipid mixing and aqueous contents mixing and the effect of carboxymethyl chitin on the interaction. *Colloids and Surfaces B: Biointerfaces* 1995; 4(1): 55-63.
- Spindler KD, Rapp C. Detection of chitin degrading enzymes on gels. In Chitin Handbook 2003; 243-247.
- Kong N, Allan GG, Fox JR. Marine polymers. Part 8 critical evaluation of the potential sources of chitin and chitosan. Proc Int Conf Chitin Chitosan 2004 a; 1: 64-78.
- Bugnerotto J, Lizardi J, Goycoolea FM, Argüelles-Monal W, Desbrières J, Rinaudo M. An infrared investigation in relation with chitin and chitosan characterization Polymer 2001; 42(8): 3569-3580.
- YouJia Zhong. Isolation, Characterization of Beta-Chitin from Squid Pens and Calcium Carbonate Crystallization on the Chitin. Scaffold Intel International Science and Engineering Fair Intel ISEF 2005.
- Felse Arthur P, Panda T. Studies on applications of chitin and its derivatives. *Bioproc Eng* 1999; 20: 505-512
- Mahmoud NS, Ghaly AE, Arab F. Unconventional Approach for Demineralization of Deproteinized Crustacean Shells for Chitin Production. *Am J Biochem Biotech* 2007; 3(1): 1-9.
- Khanafari A, Marandi R, Sanatei Sh. Recovery of chitin and chitosan from shrimp waste by chemical and microbial methods. *Iran. J Environ Health Sci Eng* 2008; 5(1): 19-24.
- Jung W J, Kuk J H, Kim KY, Park RD. Demineralization of red crab shell waste by lactic acid fermentation. *Appl Microbiol Biotechnol* 2005; 67: 851-854.
- Zhang Y, Xue C, Xue Y, Gao R, Zhang X. Determination of the degree of deacetylation of chitin and chitosan by X-ray powder diffraction. *Carbohydr Res* 2006; 340: 1914-1917.
- Weitschies W, Ramirez LP, Hilger I, Kaisar WA, Magn J. The FTIR spectra of the Fe₃O₄-chitosan composite nanoparticles as well as chitosan, Elsevier 2007; P 434-435, P 633-636.
- Domard A, Rinaudo M. Preparation and characterization of fully deacetylated chitosan. *Int J Bio Macromolecules* 1983; 5: 49-52.
- Duarte ML, Ferreira MC, Marvao MR, Rocha J. An optimised method to determine the degree of acetylation of chitin and chitosan by FTIR spectroscopy. *Int J Bio Macromolecules* 2002; 31: 1-8.

14. Moore GK, Roberts GAF. in Muzzarelli RAA, Pariser ER (eds). Proceedings of the first International Conference on chitin/chitosan. MIT Sea Grant Report 78-7. 1978; P 421.
15. Baxter A, Dillon M, Taylor KDA, Roberts GAF. Improved method for i.r. determination of the degree of N-acetylation of chitosan. *Intl J Biol Macromol* 1992; 14: 166-169.
16. Sabnis S, Block L H. Improved infrared spectroscopic method for the analysis of degree of N-deacetylation of chitosan. *Polym Bull* 1997; 39: 67-71.
17. Blair HS, Guthrie J, Law TK, Turkington P. Chitosan and Modified chitosan Membranes I. Preparation and Characterization. *J Appl Polym Sci* 1987; 33: 641-656.
18. Vishu Kumar AB, Varadaraj MC, Gowda LR, Tharanathan RN. Characterization of chito-oligosaccharides prepared by chitosanolysis with the aid of papain and Pronase, and their bactericidal action against *Bacillus cereus* and *Escherichia coli*. *Biochem J* 2005; 391: 167-175.
19. Xiaoli Ma, Zihua Yao, Dagang Shi. Preparation and characterization of porous chitosan membranes and the localization of the activity of urease immobilized on it by SEM and X-ray microanalysis. *CJI* 2005; 7(6): 45.
20. Ma J B, Wang H J, He B L. A preliminary in vitro study on the fabrication and dermal fibroblasts. *Biomaterials* 2001; 22: 331-336.
21. Woong T, Chunga, Yang J. Preparation and characterization of porous chitosan membranes and the localization of the activity of urease immobilized on it by SEM and X-ray microanalysis. *Biomaterials* 2002; 23: 2827-2834.
22. Li J L, Pan J L, Zhang L G. Preparation and characterization of porous chitosan membranes and the localization of the activity of urease immobilized on it by SEM and X-ray microanalysis. *Biomaterials* 2003; 24: 2317-2322.
23. Mi FL, Shyu SS, Wu YB. Chitosan membrane as a wound dressing. *Biomaterials* 2001; 22: 165-173.
24. Mi F L, Wu Y B, Shyu S S. The endotoxin binding and antioxidative properties of ceramic granules. *J Membr Sci* 2003; 212: 237-254.
25. Oungbho K, Müller BW. Chitosan sponges as sustained release drug carriers. *Int J Pharm* 1997; 156: 229-237.
26. Leffler CC, Müller BW. Molecular interactions in collagen and chitosan blends. *Int J Pharm* 2000; 194: 229-237.
27. Chow KS, Khor E. Novel fabrication of open-pore chitin matrixes. *Biomacromolecules* 2000; 1: 61-67.
28. Zeng X F, Ruckenstein E. Control of pore sizes in macroporous chitosan. *Ind Eng Chem Res* 1998; 37: 159.
29. Zeng X F, Ruckenstein E. Powder sampling and particle size determination. *J Membr Sci* 1999, 156: 97-107.
30. Steenkamp G C, Keizer K. *J Membr Sci* 2002; 197: 147-156.
31. Choi BK, Kim KY, Yoo YJ, Oh SJ, Choi JH, Kim CY. In vitro antimicrobial activity of a chito-oligosaccharide mixture against *Actinobacillus actinomycetemcomitans* and *Streptococcus mutans*. *Int J Antimicrob Agents* 2001; 18: 553-557.
32. Begin A, Calsteren MRV. Antimicrobial films produced from chitosan. *Int J Biol Macromol* 1999; 26: 63-67.